

回転掘削機構について (オ3報)

京都大学工学部 正員 島昭治郎 西松建設 K.K. 正員 ○伊藤典生  
大成建設 K.K. ○ 田岡征五 新幹技術コンサル. ○ 三浦亮吉

まえがき 回転掘削機構を持つ掘削機械には、バケットホイールエクスキャバターや基礎杭打設用のアースドリル、アースオーガー、トンネル掘削用のメカカルシールド類などがあり、現在広く用いられている。これらはいずれも掘削作業部分の回転運動を伴うものであるが、掘削の進行方向ならびに回転の方向は、まちまちである。そこでこれらの回転掘削機構の分類方法として次のように考へる。図-1 のように座標軸をとり、それぞれの軸のまわりの回転を  $R_x, R_y, R_z$  とする。ただし、回転によって右ネジの進む方向が、軸の正の方向と一致するよう回転方向を正とする。また、軸のまわりの回転を座標軸にしたがって、 $X, Y, Z$  とする。多軸のものについて、 $Z$  と同様の回転軸の集まりを表わし、 $R(x)$  はこれらの集まりが更に  $Z$  軸のまわりの公転することを表わすこととすれば、容易に記号で分類できる。例えば、メカカルシールドは  $R_x X$  型であり、アースドリル、アースオーガーは  $R_z Z$  型、ホイールデッチャーは  $R_x Y$  型と表わせる。この表記法から、 $R$  の添字と軸の運動を示す記号が同種の場合 ( $R_x X, R_z Z$ )、刃先の軌跡から線形を描くし、これと異なれば刃先はトロコイドとなること一見して判るところが便利である。

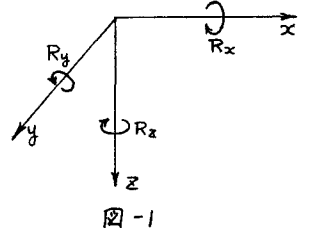


図-1

これより、オ1報、オ2報に於いては、 $R_z Z$  型掘削機構を持つアースドリル、アースオーガーについて報告した。今回の報告は、これら  $R_z Z$  型掘削機構について更に実験し解析した結果を記すものである。また  $R_x Y$  型の掘削機構を持つポンプ浚渫船のカッターを対象とした掘削機構については、現在実験中であるため、詳しく報告できずその概要についてここに記す。

アースドリル ( $R_z Z$  型) の掘削機構について 実験装置および試料については、前報において報告しているから省略する。アースドリルの掘削機構は、バケット刃先のくい込み機構、刃先にあける切削機構、切削土塊がバケット内の土を押し除けて積込みされる積込み機構、バケット外周壁のまさつ機構に分けて考へられる。刃先のくい込み機構および外周壁のまさつ機構については、前報のとおりであるが、積込み機構については次のように考へれば最も合理的であることがわかった。というのは、図-2 に示すようにアースドリルにかかるときの掘削抵抗は刃のすくい角が大きくなると減少する傾向を表わしているが、前報の解析方法ではこれを表わしきれない。これは、前報では積込み土塊を図-3a に示すように考へたところにある。バケット内にすくい貯留している土が、新しく切削された土によって排除されていく領域を更に詳しく観察すれば、図-3b のようになる。即ち

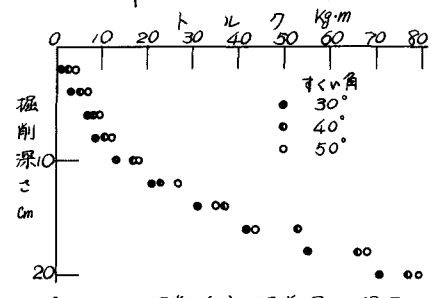


図-2 ドリルの掘削抵抗と掘削深さの関係

次の仮定が行はるべきものと考へられる。

- 1) 刃面に沿つて入つてくる切削土塊は、a 点で刃面 (ba) に接しバケツト内の地表面に直角に交わるすべり面をバケツト内に生ずる。
- 2) 刃による反働破壊の領域は、刃の前における境界  $\overline{ca}$  を図のよゝに決定する。
- 3) 奥行き方向の領域は、刃幅と同一に取れる。

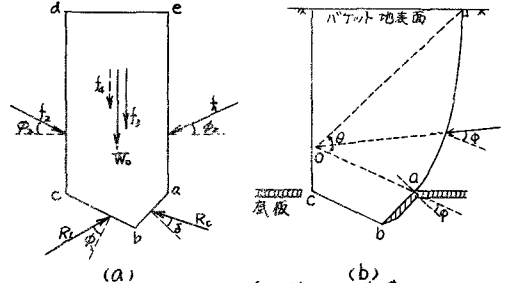


図-3 バケツ内の貯留土塊の積込み機構

積込みの領域を新しくこのよゝに仮定し、持ち  $\overline{ae}$  を対数らせ線と仮定するこゝによつて前報とほほ同様手順 (領域にかゝる力の釣合を考へて力の多角形から積込み抵抗を求め) により抵抗が容易に算定できる。前報でほほ述べてなかつた粘付着力を持つ土に対して、領域面に粘付着力を作用させて抵抗を算定できるし、刃面にかゝる切削抵抗と対数らせ線  $\overline{ae}$  を  $\overline{be}$  に延長するこゝにより、含めて算定できる。

掘削抵抗をバケツトの運転条件、土質条件、寸法諸元により求めた後、自重による掘削方法を持つ一般のアースドリルの掘削性についてと実験を行なひ、すくい角は小さい方が掘削性良いこと、また取土口の剛底部に関する結果なども得てゐる。

アースオーガー (R<sub>2</sub>型) の掘削機構について アースオーガーの掘削機構は、スクリー面上でのつまみおよび付着機構、掘削土塊と掘削孔壁の間のせん断機構に合せられる。オーガーの掘削機構は、スクリー上のピッチ (p) と一回転あたりの掘削深さ (q) との間の大小関係から、スクリー部分の高さ (L) と掘削孔の深さ (H) との間の大小関係によつて異なる。前者の関係においては、 $p > q$  ならば掘削土塊はオーガーの回転につれて上昇してくる。その上昇量は、オーガーが 1 回転すれば

$$\Delta z = \frac{1}{2\pi} (p - q) \cdot \theta \quad \dots (1)$$

の上昇は起らない。(但し、これは回転軸の太さとスクリー板厚、土の圧縮性を考慮してゐないときである。) また後者の関係においては、前述の機構との関連性から、上昇してきた掘削土塊が地表面に土圧を、孔壁からの拘束から解放されるためスクリー面上から崩れるゆゑに、 $L > H$  ならば掘削の進行につれて上昇した土塊は地表面で抵抗となり得ず、 $L < H$  ならばとほほ異なる。前報では、これらの点などの考察が不十分であった。

く込み抵抗  $R$  は、刃先におけるブランサー (Blancer) を考慮して次式となる。

$$R_v = \frac{D}{\pi} \cdot z \cdot \frac{V}{f} \log_e \frac{D}{d} \quad \dots (2)$$

$$R_T = \frac{b}{\pi} \cdot z \cdot \frac{V}{f} \tan \delta \cdot \frac{D-d}{2} \quad \dots (3)$$

$R_v, R_T$  く込み抵抗鉛直分力 およびトルク (以後、添字  $V, T$  はこれと同義である。)

- $b$  く込み係数
- $z$ : 掘削深さ
- $V$ : 掘進速度
- $f$ : 回転数
- $D$ : スクリー直径
- $d$ : 回転軸径
- $\delta$ : 鉄と土との間のつまみ係数

スクリー面上での掘削土塊のつまみ抵抗  $F$  は、スクリーの傾斜角が回転軸からの各位置によつて異なるため複雑であるが、積込みするこゝによつて近似式を得らる。

$$L \geq H \cdot F_T = \gamma \frac{V}{F} 2\pi z D^2 \left( \frac{\tan \delta}{24} \left( \frac{D}{p} \right) + \frac{\sec^2 \delta}{16\pi} + \frac{\sec^2 \delta \tan \delta}{8\pi^2} \left( \frac{p}{D} \right) \right) \dots (4)$$

$$L < H \cdot F_T' = 2\pi(z-z_0)\gamma D^3 \left( \frac{\tan \delta}{24} + \frac{\sec^2 \delta}{16\pi} \left( \frac{p}{D} \right) + \frac{\sec^2 \delta \tan \delta}{8\pi^2} \left( \frac{p}{D} \right)^2 \dots (5)$$

$\gamma$ : 土の単位体積重量  $z_0$ : 掘削開始前の刃先の深さ

前報において、上式を得るための積分をせず、スクリューを分割して代表傾斜角での値を求め、その総和を求めた。掘削土塊によるスクリュー面での付着抵抗は、前報のとおりである。掘削土塊と掘削孔壁との間のせん断抵抗は、掘削土塊を通じてスクリュー面に与えられた抵抗  $S$  として与えられる。前報においてせん断抵抗をこのように用いているのは誤りであるため、ここに訂正する。

$$L \geq H \cdot S_T = \pi \frac{D}{p} \left[ \frac{1}{2} k_p \gamma \tan \phi \cdot \frac{V}{F} \left\{ z^2 - z \cdot \frac{V}{F} + \frac{1}{3} \left( \frac{V}{F} \right)^2 \right\} + c \cdot \frac{V}{F} \left\{ z - \frac{1}{2} \frac{V}{F} \right\} \right] \dots (6)$$

$$S_T = S_T' \tan(\phi + i_0) \frac{D}{2} \dots (7)$$

$$L < H \cdot S_T' = \pi D \left[ k_p \gamma \tan \phi (z-z_0) \left\{ z - \frac{1}{2}(z-z_0) \cdot \frac{V}{F} - \frac{3}{2} \frac{V}{F} \right\} + c \cdot (z-z_0) \right] \dots (8)$$

$$S_T' = S_T' \tan(\phi + i_0) \frac{D}{2} \dots (9)$$

$i_0$ : スクリュー最外縁でのスクリュー傾斜角  $k_p$ : 受働土圧係数  $c, c$ : 土の強度パラメータ

以上の式により、オーガの掘削抵抗は算定できる。前報での実験装置 ( $p=20, 25, 30 \text{ cm}$ ,  $D=50 \text{ cm}$ ,  $H=50 \text{ cm}$ ) によって得られた結果との比較を図4に示す。

$L \geq H$  と  $L < H$  の場合には、掘削の機構が非常に異なっていることは前述のとおりである。例えば、 $L \geq H$  の掘削においてトルクは(5)(7)式からピッチと直径の比が、 $\pi(\cos \delta - \tan \delta) < p/D < \frac{1}{3} \pi \cos \delta$  のあたりで最小値を持つことが推察される。結局、現在使用されているオーガの  $p/D$  よりかなり大きい

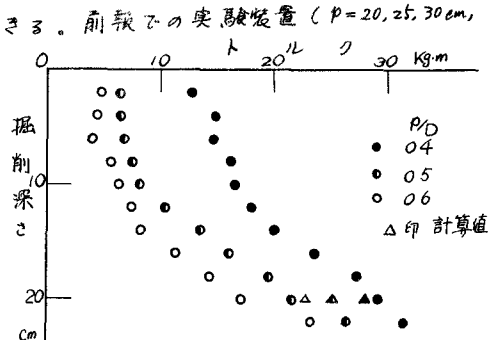


図4 オーガの掘削抵抗と掘削深さの関係

いことが、掘削には有利であるという結果が得られた。(但し、 $V=0.45 \text{ cm/sec}$ ,  $f=0.03 \text{ rps}$ )

ポンプ浚渫船のカッター (R.Y型) の掘削機構について ポンプ船のカッターは、回転方向が一様 (一般に船体側からみて右回転) で、左右両スリングの往復運動により掘削が行われる。従って右回転右スリングの場合、刃は地盤を切り下ろすように、右回転左スリングの場合、刃は地盤を切り上げるように掘削する。右スリングと左のそれぞれは掘削の機構が全く異なるため、両スリングとは同一回転数、同一スリング速度で回転される現行のポンプ船では、右と左のスリングでトルク、吸入効率等に大きな差があることが認められている。しかしこの差を、より明確に明らかにするために、ここに後述するようカッターヘッド模型を製作し、掘削の基本的性格を把握する実験を行った。実験および解析は現在進行中であり、装置の改良を試みているため得られている一部の結果のみを後に示す。実験装置は、次のようである。カッターヘッド直径:  $19 \text{ cm}$

刃長: 8cm 刃幅: 5cm 刃数: 4枚 吸入孔直径: 3.5cm

刃が刃先を通る直径と刃角: 60° 以上の諸元を併つてカッターヘッド模型を水槽上を走行する台車に設置し、掘削時のトルクと台車けん引力を測定する。用いた試料は豊浦標準砂を水中に自然堆積させたものである。

カッターの刃先が描く軌跡は、スイング方向にx軸、それと直角方向をy軸とすれば、

$$x = \frac{S}{2\pi n} \phi + \frac{D}{2} \sin \phi, \quad y = \frac{D}{2} \cos \phi \quad (10)$$

D: カッター径, n: カッター回転数 S: スイング速度  $\phi$ : 刃の回転角 (y軸の所方向)

と表わされる。この式において、 $K = \frac{S}{nD}$  とおけば、Kは刃先の描く軌跡の形を決定するパラメータである。n=0.5 rps, 0.25 rpsの2つの場合についてKの値を変化させ、その時のけん引力、掘削した工の吸入効率、トルクを以下に示す。図-5はけん引力を示す。いずれの場合もKの増大つまり一枚の刃が切り取り厚さが大きくなるにつれてほぼ比例的にけん引力が増加の傾向を見せている。図-6は吸入率として掘削の基準工量  $V = S \cdot t \cdot b \cdot h$  (b: 刃長, h: 掘削深さ) に対応する吸入工量  $V_0$  の比を取り、これをKの変化に対して図示したものである。左スイングでは  $K=0.4$  付近で効率最高の点が見られるが右スイングではKの増大によって吸入効率は急激に減少している。又右スイングの場合、左スイングに対して吸入効率は非常に劣る。図-7は掘削効率を示す量つまり、単位時間に掘削する工量に対するトルク  $Tt/V$  (T: 平均トルク, t: 掘削時間) を示したものである。Tt/Vの値が小さい程、掘削の効率が良いことを示すが、回転数が大きい程効率が良いという結果が得られている。図-5~図-7の結果より判断すると、左スイングの掘削においては問題はない。しかし右スイングの場合、吸入率、掘削効率共に劣り、効率良く掘削するためのには、回転数を上げスイング速度を小さくして、1回の切り取り厚さを薄くする方が選ばれるべきであろう。

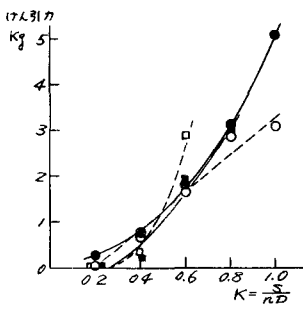


図-5 けん引力と軌跡の関係

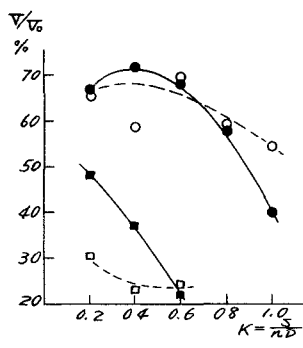


図-6 吸入率と軌跡の関係

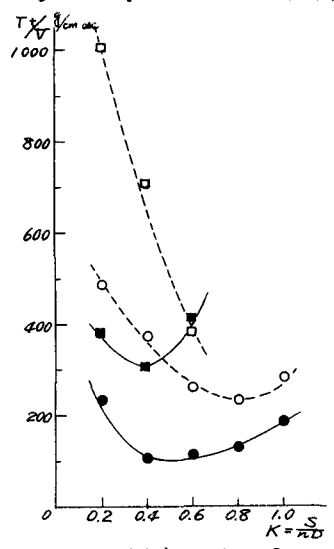


図-7 掘削効率と軌跡の関係

参考文献 岩田尚生: ポンプ浚渫船のカッターについて, 作業船 No. 8, (S. 35. 11) pp. 45~48